

(48)

炭材による鉄鉱石還元の一次元シミュレーション

三菱重工 広島研究所

下里省夫

・板野重夫

白石成之

1. 緒言：ロータリキルン方式直接還元法に相当する。炭材による鉄鉱石還元時の各種還元条件の影響を把握するためにシミュレーションモデルを作成し、さらに、このシミュレーションモデルの実用性を検討するために実験値との比較検討を行なった。

2. 計算方法：単位充填炉当たりの鉄鉱石量および炭材の反応速度および界面反応速度定数として以下に示す報じ¹⁾の速度式を用いた。

$$\text{鉄鉱石の反応速度式: } R_i^* = \frac{273 \cdot \pi \cdot d_p^2 \cdot \Phi \cdot N \cdot (x - x_e) / 22.4t}{(1/K_{sp}) + (dp/2) \{ (1-f_s)^{1/3} - 1 \} / D_{sp} + \{ (1-f_s)^{2/3} \cdot K_p \cdot (1+1/k_c) \}^{-1}} \left[\frac{\text{kg mol (CO)}}{\text{m}^3 (\text{bed}) \text{Hr}} \right] \quad (1)$$

$$\text{炭材の反応速度式: } R_c^* = \frac{2 \cdot 273 \cdot N_c \cdot (1-x) / 22.4t}{(\pi \cdot d_c^2 \cdot \Phi_c \cdot K_{sc})^{-1} + (E_f \cdot \pi \cdot d_c^3 \cdot \rho_c \cdot K_c)} \left[\frac{\text{kg mol (CO)}}{\text{m}^3 (\text{bed}) \text{Hr}} \right] \quad (2)$$

$$\text{鉄鉱石の界面反応速度定数: } K_p = 347 \times P (-3460/t) \left[\frac{\text{m}^2}{\text{Hr}} \right]$$

炭材の反応速度定数: $K_c [m^3 / kg \cdot Hr]$ (炭材の種類により大巾に相違する。図中に示す。)

計算に当り、充填炉内の鉄鉱石と炭材の混合比率および温度の不均一はないものとし、還元の各進行段階で物質収支をとると、 $R_i^* = R_c^*$ なる条件で反応が進行することになるのでこの条件下でXを求め、(1)式中に代入すれば各還元進行段階ごとの反応速度 $R^* (= R_c^*)$ が求まるので、この計算の繰返しを一定時間区間で行なえば各時間区間に還元率および充填炉内ガス組成の反応因子が求められる。

$$f_{s,i+1} = R_i^* \times \Delta t / \Xi_0 + f_{s,i}$$

ここで、 d_p, d_c : 鉄鉱石、炭材の粒径[m], D_{sp} : 還元鉄炉とのCOの拡散係数 [m^2/Hr], E_f : 有効係数[-], f_s : 還元率[-], K : Fe-C-O系平衡定数[-], K_p, K_c : ガス境界膜物質移動係数 [m/Hr], N, N_c : 鉄鉱石、炭材粒子数 [$/m^3 (\text{bed})$], t : 充填炉温度 [$^\circ K$], ρ_c : 炭材密度 [kg/m^3], X, X_e : ガス本体および平衡でのCOモル分率[-], Δt : 計算区間時間[Hr], Ξ_0 : CO相当全量 [$kg \text{ mol (CO)}/m^3 (\text{bed}) \text{Hr}$], Φ, Φ_c : 形状係数[-]

3. 結果および考察: まず、各種還元条件が還元速度におよぼす影響の一例を図1に示す。図1から分かるように炭材の反応性大なる場合には比較的小さな炭材混合比でCO還元の反応速度に近づく即ち鉄鉱石反応律速になるが、炭材の反応性小なる場合には炭材混合比を相当大にしないと鉄石反応律速にならないといえる。次に、固定混合炉での実験結果とシミュレーションによる計算結果とを比較して図2に示す。図2から分かるように充填炉の温度が与えられれば還元速度はかなり精度よく求められるといえる。

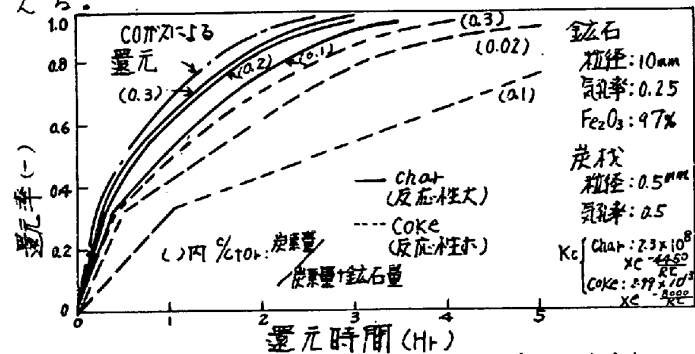


図1. 計算による還元要因の影響の検討

参考文献 1) 鞠、八木他; 日本国金属学会誌, 30(1966)P826

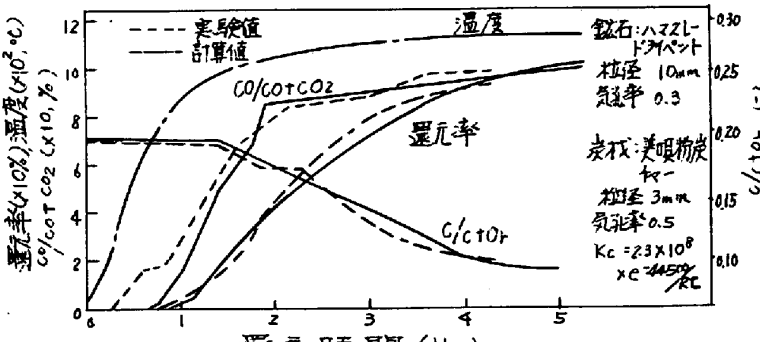


図2 実験値と計算値との比較